

# 科學研究論文彙編

第二期

上海中醫學院

1959.10.1.

## 序　　言

我們選集了1959年的科學研究論文中的59篇，彙編成冊，向偉大的國慶十周年獻禮。它是1958年上海中醫學院科學研究論文摘要彙編第一輯的繼續，在順序上算第二輯。

我院科學研究工作，在黨的領導下，青老年中西醫師緊密合作，共同努力，已取得了一定成就。

1959年的選題，截至九月中旬止，已完成112項，其中理論機制，重點是經絡本質的探討，針灸機制的研究26項，臨床研究47項，文獻整理、著作等81項，其他8項。

經絡與針灸機制的研究，是我院的一個重點，論文也較多，雖還不能得出全面的、肯定的結論，但對今後繼續研究提供了重要的資料。臨床研究，也取得了顯著的成效，如針刺治療聾啞有效率達84.7%，針刺治療小兒麻痺症有效率達95.8%，推拿治療椎間盤突出有效率達91.2%，治癒率75%，中醫中藥治療高血壓有效率達74.6%，中醫中藥治療矽肺，療效亦較理想，症狀改善88.2%，肺功能恢復85%，X線胸片的觀察，在28例中有7例矽結節陰影及網狀陰影吸收好轉。

這些成就，是黨的正確領導，堅決貫徹了黨的中醫政策，廣大羣眾對繼承發揚祖國醫學遺產的積極性空前提高的必然產物。

1959年的科學研究工作，無論從量或質方面來說，都有所提高，但我們並不滿足這些成果，相反的，我們應在新的基礎上，更加努力，對人民作出更大的貢獻。

因時間匆促，不及仔細地審訂、修正，錯誤之處，恐在所難免，請批評指正。

# 目 录

## 理論探討和机制研究

阴阳五行学說在临床上的应用

經絡學說的研究

針刺对加強孕妇子宮收縮的作用

灸石門穴对小白鼠生殖系統(性週期及受孕率)影响初步報告(摘要)

針刺对人心臟動作電流的影響

艾灸对高血压患者手指容积影响的初步觀察(摘要)

X綫下觀察針刺对胃蠕动的影响以及穴位選擇性問題的初步探討

正常人胃蠕动的描記及針灸对胃蠕动描記波的影响

針刺“足三里”对菟胃运动机能的影响及其机制的初步探討

12經脈循行部位及其穴位与人体結構关系的解剖觀察

✓ 手太阴肺經循行部位解剖結構的觀察

手三里穴解剖結構的觀察

关于“关元”、“三阴交”穴位臨床針刺感应和解剖結構的关系

皮肤穴位导电量与温度正常值的測定及其周身分布情况的研究

电极面积、电极与皮肤接触的压力以及接触时间的長短对皮肤穴位导电量的研究

几种經絡仪的測定(直流电阻器的設制)

皮肤电位測定器的設制

“莉蘆”經不同方法处理后的毒性和对家兔血吸虫病疗效的进一步觀察

針灸对血清中白血球数量、补体、抗体影响的初步試驗

中药对流感病毒的抑制作用

## 臨 床 研 究

高血压病的中医理論和治疗(摘要)

中医对慢性腎炎的理論机制及其治疗(摘要)

石斛銀翹湯治疗20例腎孟炎初步觀察

中医治疗慢性腎炎20例初步小結

中医中药治疗子宮頸癌的研究

25例矽肺的中医治疗

中药治疗21例支气管擴張初步疗效观察

运用中医中药治疗再生障碍性貧血的体会

中医中药对糖尿病的疗效

中医对慢性泄瀉的認識和治疗  
雷丸治疗钩虫病的初步疗效觀察  
驅钩合剂治疗钩虫病的疗效觀察  
驅钩煎剂治疗钩虫病的初步分析  
祖国医学治疗晚期血吸虫病

中医治疗小兒傳染性肝炎的临床報告  
麻疹併发肺炎临床总结

中医中药治疗急性阑尾炎和阑尾膿腫 138 例病案分析  
中医外科手法治愈慢性复发性伴有乳头內縮的乳部瘻管24例临床觀察報告  
海藻玉壺湯加減治疗癰瘤（甲狀腺腫及囊腫）33例临床觀察  
藥烘疗法治疗神經性皮炎50例初步報告

針刺治疗聾啞症 301 例的初步总结  
針刺治疗精神分裂症的临床觀察  
針刺治疗小兒麻痹症后遺症 214 例的临床觀察  
針刺治疗遺尿症  
針刺治疗視神經萎縮  
針刺治疗慢性瘧疾  
針刺治疗胆囊炎  
針刺治疗肺結核  
針刺治疗 127 例高血压病疗效总结  
針刺治疗癫痫61例報导  
兒科指針治疗应用子午流注法的經驗介紹  
針刺治疗視網膜色素变性  
“失眠症”的水針疗法

推拿治疗腰椎間盤突出症的临床觀察与探討

## 其 他

若干中藥中鉄、鈣与磷含量的測定  
黃芩的药理作用

肝臟疾病时血清轉氨酶活力的測定  
双缩脲反应测定血清蛋白質的研究  
蜂蠍对于腎上腺皮質的作用

檢查全院寄生虫的感染  
利用溫差電偶溫度計測定循環時間

# 几种“經絡探測器”(皮肤直流 电阻器)的設制

上海中医院

上海理疗器械研究室

上海第一医学院

1959年7月

# 几种“經絡探測器”(皮肤直流电阻器)的設制

曾兆麟\* 楊世琦\*\* 秦子生\*\*\* 郁望耀\* 吳定宗\*

經絡學說是祖國人民在長期医疗實踐過程中所創立的。經絡內連五臟六腑，外連筋皮部，循行全身，將整個機體連系成一個統一的整体。它是機體中的客觀存在。經絡的本質是什么？構成經絡的物質基礎是什么？這些都是擺在我們面前最迫切而又艱巨的任務。已經證明內臟功能的變化可以在外表皮膚的物理學特徵上反映出來<sup>(1)(2)</sup>，但是反映的規律和經絡 腫穴的關係如何？及對疾病的診斷意義如何？當有待於進一步研究。

為了迎接全國經絡會議的召開，我們接受了上海市衛生局所交給的任務，設計了幾種不同類型的經絡探測器，本文的目的乃從電學理論方面和實際應用上來探討它們的性能和價值。

利用皮膚直流電阻的測定來研究經絡為中谷氏首先採用<sup>(3)</sup>，他發現在某些疾病患者，皮膚表面一定部位的通電抵抗(即電阻)較其他部位為低，也就是電流通過量大，這些部位稱為良導點，把所測得的良導點連接起來稱為良導絡。根據中谷氏的實驗認為良導點與我國古典的腫穴所在部位很一致，良導絡的行徑與經絡相符合，因而創立良導點與良導絡學說。中谷氏的實驗方法<sup>(4)</sup>，包括三方面：第一為良導點通電量的測量，為實驗的最基本部份，測量的裝置包括9—12伏電池的電源，200微安電流計及可變電阻(約60千歐)，其結構原理圖如圖1；第二位良導絡的探索實驗，其儀器與第一種相同，但電極不同；第三為良導點探索實驗。

目前國內所應用的經絡探測器種類甚多，有的簡單有的複雜。由於某些設計者，不完全了解該儀器的要求和關鍵所在，以致于產品在應用上不能達到要求。從電學觀點看來，中谷氏所應用的良導點通電量測量裝置，實際上是一種串連式直流電阻測定裝置，僅是以通電量(微安)來表示人的電阻，而不用歐姆表示。我們認為如果電源電壓值不改變，電路中與人體串連的電阻值固定(如圖1裝置中的R)，通過人體的電流量微安數值是可以用來表示電阻值的。但是如果電源的電壓降低，電路中的串連電阻R的值也必需減少，方可使調整時指針仍能偏轉至滿度(200微安)處，因此在這種情況下測得的微安值就要相應的低一些，而失去了準確性。例如圖1中當電源電壓為12伏，調節指針到200微安(即滿度)時，電路中的R值為60千歐(包括微安計的內阻在內)，如測定的未知電阻的通電量為150微安，則其電阻值根據歐姆定律：

$$I = \frac{V}{R} \quad 0.00015 = \frac{12}{60000 + X}$$

$$X = \frac{12 - 9}{0.00015} = 20000 \text{ 欧姆 (電池內阻略)}$$

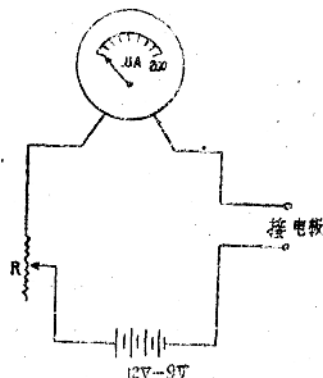


圖 1 中谷氏所應用的經絡探測器  
結構原理圖

\* 上海中醫學院

\*\* 上海理療器械研究室

\*\*\* 上海中山醫院

如果电源电压降低到11伏时，调节指针到200微安时电路中的R值须降低至55千欧。此时若所测的未知电阻的通电量仍为150微安，则其电阻值为18300欧姆。因此当电源电压降低后，微安就不能代表真正的电阻值。常用的干电池新的每节可达到1.56伏，使用长久后可降低至1.25伏以下，由于电池电压的改变，这种简单的串连式电阻测定方法在电阻测定仪的制造中已很少应用<sup>(5)</sup>。

在设计电阻式的经络探测器时，应该考虑到（一）电源电压值必须较恒定，电路中所串连的电阻值应该一致；（二）制造简单、使用正确与方便。根据这两个要求，我们提出下列三种不同结构形式的经络探测器以供参考。

第一种类型为简单的经络探测器，主要根据中谷氏所提出的基本线路加以改进而制成。其线路如图2所示，该仪器构造较简单，制作容易，同时目前大多数工作者所应用者系仿中谷氏所应用的制法，因此改制很方便。上面曾提出中谷氏所应用者的最大缺点，乃当电源电压已降低而使用者仍继续使用时，则会使所测得的值偏低，因此我们采用了R<sub>3</sub>（与微安计内阻共计60K）通过S将电源的阳极与微安计的阳极接头相连，作校验电压用，例如电源电压为12伏时则指针偏转至200微安（满度），当降低至11伏时则指针的偏转只能达183微安（ $I = \frac{11}{60000}$ ，电池内阻略），

此时需更换电池。一般1号干电池放电时间约500分钟（外电路为4欧姆时），而该仪器中的耗电量约为标准放电量的1/2000左右，电源电压利用8只1号干电池（即普通手电筒用电池）串连供给，可以使用一很长的时期。R<sub>1</sub>具有保护作用，R<sub>2</sub>与电位器P并连，使满度调节时指针偏转平稳。

进行经穴探索实验时（即中谷氏的良导点探索实验），利用电容器C将电流通过人体时所产生的电位降并连输出到耳机或扩音装置，电容器C对交流成份发生滤波作用，对直流成份起断流作用（Blocking）。由于信号的输出为并连，因此在听声音的同时，可记录微安计中的通电量。我们的经验证明这种并连的输出方法能获得较好的效果。S<sub>1</sub>的作用是为了便于调换探测电极与无关电极的极性，以减少电流通过电极时所产生的极化作用。又当探测电极与电池的阴极相连时，可以使耳机中的声音更响，利用S<sub>1</sub>也是为了达到此目的。如果不常用的话，图2中的测量气血（即活力测定）的话筒插座可省去。

第二种类型为交直流经络探测电针治疗器，本文所介绍者系由上海中医学院生理教研组设计并与上海市医疗工业中心实验室协作制成的。其中采用了交流与直流两种电源，另外还配合有感应电针装置，使诊断与治疗能同时进行。其外形与线路结构见图3与图4。该仪器包括三部份（1）低压整流部分（2）感应电针部分（3）经络探测装置。

整流部分系用氧化铜整流器，整流后的电流经过电容器C<sub>1</sub>、C<sub>2</sub>与电阻R<sub>1</sub>滤波后变成平稳的直流输出，作为感应电针与经络探测装置的电源，调整可变电阻R<sub>1</sub>的阻值使输出电压值在15伏左右。利用一小型的感应圈及电流断电器使通过原线圈L<sub>1</sub>的电流变成断续的

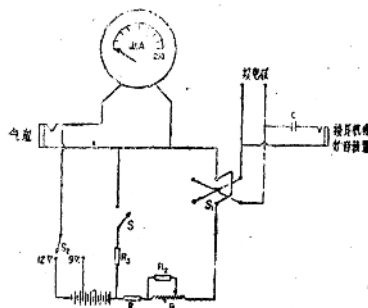


图2 简单经络探测器的线路結構

S：按钮，S<sub>1</sub>：双刀双掷，S<sub>2</sub>：单刀双掷，R<sub>1</sub>:30K 滑膜 1/2 W, R<sub>2</sub>:20K 滑膜 1/2 W, R<sub>3</sub>:与电流计内阻共计 60K 滑膜 1/2 W, P:50K 硫黄电位器, C:0.05μfd, 纸质 600V

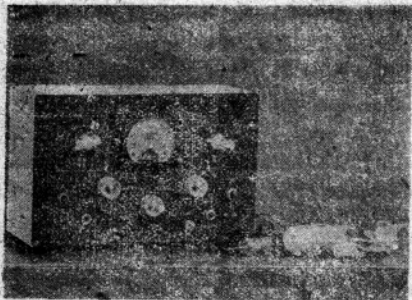


图 3. 交直流經絡探測电針治疗器的外形

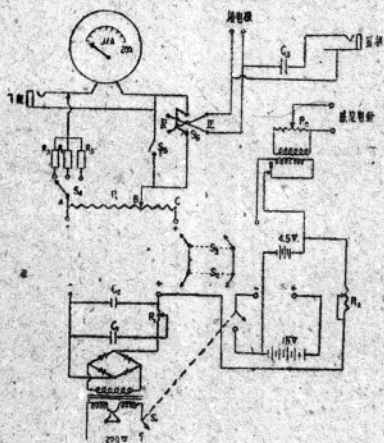


图 4 交直流经络探测电针治疗器的线路结构  
 $S_1$ : 双刀单闸,  $S_2$ ,  $S_3$ ,  $S_4$ : 双刀双闸,  $S_5$  单刀三闸,  
 $S_6$ : 漏电,  $R_1$ : 500 可变电阻 3 W,  $R_3$  与微安计内阻  
 共计 60 K 滤膜 1% W,  $R_4$ : 与微安计内阻共计 45 K  
 滤膜 1% W,  $R_5$ : 与微安计内阻共 30 K, 滤膜 1% W,  $C_1$ ,  
 $C_2$ : 50ufd 电容, 50V,  $C_3$ : 0.105ufd 纸质, 600V,  $P_1$ :  
 2000 欧姆线绕 3 W,  $P_2$ : 5K 滑膜。变压器: 输入 220V  
 或 110V, 输出 10V。

端的电压愈稳定,但是由于  $P_1$  的阻值若太低,则消耗电流值就较大,如图 4 中所示,电位计  $P_1$  值为 2000 欧姆时,被测定的人体电阻范围在 100 万欧姆(约 10 微安)以内,则 AB 两端的电压变化不超过 12.057 伏,相差约 0.47%。证明如下:

第一步：在  $S_2$  短路，调整 AB 两端电压使成为 12 伏时，求电位器  $(P_1)$  AB 两端的电阻。设 AB 两端的电阻为  $r$ ，通过的电流为 1，AC 两端输入的电压为 15 伏。

$$AB \text{ 两端电压: } ir = 12 \quad i = \frac{12}{r} \quad \dots \dots \dots \quad (1)$$

直电流，因而在次线圈  $L_2$  的两端获得感应电流，其性质与理疗中所常用的法拉地氏电流 (Faradic Current) 相同，适合于用来刺激人体肌肉和神经组织。电位器  $P_2$  是用来调节感应电流的输出强度。原线圈  $L_1$  的电源电压约4.5—6伏，可以用三或四节手电池串连后供给之。

經絡探測裝置系用(2000歐姆)線繞電位器和三個定值的電阻以保證測定時所需要的電壓在6伏、9伏與12伏。利用電位器和定值電阻的方法來使電壓恆定，不論在實用與理論上都比較合理與正確。在電位器  $P_1$  兩端輸以約15伏的電源(由整流所獲得的)，通過  $P_1$  的電流值約7.5毫安， $S_4$  與  $R_3$  相連時， $S_5$  短路，調節  $P_1$  的中心接頭B，使微安計的指針偏轉至200微安時，因  $R_3$  與微安計的內阻共計60000歐姆，故AB兩端的輸出電壓為12伏( $60000 \times 0.0002 = 12$ )。同樣  $S_4$  與  $R_4$  相連時( $R_4$  與微安計內阻共計45000歐姆)，調節B點使電流計指針的偏轉仍然到200微安時，則AB兩點的電壓為9伏( $45000 \times 0.0002 = 9$ )。由於  $R_3$  與  $R_4$  的電阻值固定，故調節  $P_1$  時微安計本身又發揮了電壓計的作用。現在來分析一下，當  $S_5$  短路，調整電位器  $P_1$  使AB兩端的電壓為12伏，那麼在測定時人体的電阻加入在電路中以後，AB兩端的電壓會不會改變？變化的範圍有多大？這個問題的回答主要是決定於電位計  $P_1$  的電阻值。 $P_1$  的阻值愈低，則AB兩

$$BC \text{ 两端电压: } (i + 0.0002)(2000 - r) = 3 \quad (2)$$

以(1)代入(2)得:

$$0.0002 r^2 + 14.6 r - 24000 = 0$$

$$x = \frac{-b \pm \sqrt{b^2 - 4ac}}{2a}$$

$$\text{所以 } r = \frac{-14.6 \pm \sqrt{14.6^2 + 4 \times 0.0002 \times 24000}}{2 \times 0.0002} = \frac{-14.6 \pm \sqrt{232.36}}{0.0004}$$

卷一 1608-25

第二步：当 100 万欧姆电阻加入电路后，求 AB 两端的电压值。

(1)先求電阻加入後電位計AB兩端的總阻。

$$\frac{1}{R} = \frac{1}{1608.2} + \frac{1}{1060000}$$

R = 1605.8 欧姆

(2) 求电路中的总电流  $I$

$$I = \frac{15}{1605.8 + (2000 - 1608.2)} = 7.509 \text{ 毫安}$$

$$\text{因此 } E_{ab} = 0.007509 \times 1605.8 = 12.057 \text{ 伏}$$

同理当调节电位器 AB 两端电压为 9 伏时, 被测定的电阻在 100 万欧姆以内, 电压变动约 1% 左右。

如果利用干电池作电源，电位器  $P_1$  值可增至3000或4000欧姆，以减少电流的消耗。选用一号手电池，使用时间可达5—6百小时（按一号手电池外阻4欧姆时平均放电时间500分钟计算）。线路中的耳机输出（听声音装置）以及  $S_6$  的作用与第一类型中所设计者相同。

第三种类型是一种袖珍型直流电源經絡探測器，由上海理疗器械研究室制成，线路結構見图5。製造原理也是利用两只定值电阻。

$R_1$ 与 $R_2$ 以保证在校正后电源电压为9伏及12伏。 $R_1$ 的阻值与微安计内阻共计60000欧姆， $R_2$ 与微安计内阻共计45000欧姆，校正时使指针偏转至200微安，因此微安计也发挥电压计的作用。由两组电池作为电源供应， $B_1$ 为12伏的层叠式电池，在9伏处抽出一接头，电池 $B_2$ 为一节一号手电池，与 $B_1$ 串连。在 $B_2$ 的两端并连一约300欧姆的线绕电位器 $P$ ，其用途是当 $B_1$ 电压降低后起补偿作用。当 $B_1$ 电压降低， $S_1$ 接通，再使 $S$ 短路，旋转电位器 $P'$ 的中心点向右侧转动，使微安计的指针侧转至200微安，则输出的电压仍保持在12伏或9伏，这种设计的优点(1)以利用电池 $B_2$ 供给电位器 $P$ 约5毫安的负荷电流，来达到补偿电池 $B_1$ 电压

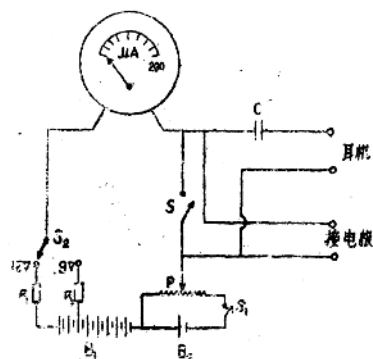


图 5 柚珍型经络探测器触阵結構

S: 捕鉗,  $S_1$ : 單刀單閘,  $S_2$ : 單刀雙閘, C: 0.05μfd 紙質, P: 800 磅每英吋, 線繞, 3W,  $R_1$ : 与麥安計內阻共計 60K 滑環 1%W, R: 与麥安計內阻共計 45K 電阻 1%W

降低而不增加电池  $B_1$  的耗电量，因此电池  $B_1$  的使用时间可以延长。（2）由于采用了层叠式电池使整个仪器制赛后体积小，便于携带，线路中的耳机输出（听声装置）与第一类型的相同。

經穴探索裝置的結構原理：中谷氏利用金属电极直接与皮肤接触，通电后可能由于金属电极与皮肤间所发生的物理性現象，使纯直流电变成断續的电流，經电子管放大后，能发出如同枪彈在空中飞过时的“噹噹”声响，在良导点部位声音大，非良导点处则无声或声音較小。中谷氏的良导点的探索实验其意义与良导点通电量的测量基本相同，仅仅利用声音作指示，以便于很快的在一較大面积的皮肤上找到电阻較低的部位，但是其反映的电阻却沒有微安計指針表示的那样正确。我們觀察到声响的大小与下列几个因素有密切关系（1）必須金属与皮肤接触，接触部分不能沾有水份；（2）电阻低通电量大的部分声音大；（3）探测电极与电池的阴极相連时声响显著；（4）当伴随有刺痛感觉时声响显著。我們曾利用阴极示波器来观察信号的性質，它是一种不規則的較高周率的噪音（Noise）。我們認為如果不是为了演示，利用电容器将信号并連輸送到耳机来收听音响可以获得滿意的效果，是一种实际而节约的办法。如果很多人同时要收听时，可以将信号輸入到五灯收音机的唱片拾音插座（即低周电压放大管的栅极）即可获得很大的声音，特別設制仪器来收听声响似乎没有必要。

进行經穴探索实验时，利用灯光的明暗来表示穴位的所在，就其性質而言，它和声响一样，不过是反映不同的皮肤电阻值的另一种形式而已。

探测电极的設制：我們所設制的探测电极是根据我們过去所設制的<sup>(6)</sup><sup>(7)</sup>进一步的改良而制成。使电极一方面能测定腧穴的通电量，同时又能进行經穴經絡的探索实验（即收听声音）。其構造如图 6。它包括（1）电极头（2）电极軸（3）电极柄（4）彈簧（5）球形銅片与（6）导綫等部分。腧穴通电量的测量采用了恒压裝置，能使每次测量时电极与皮肤接触的压力相同，避免压力因素对通电量所发生的影响<sup>(8)</sup>。其原理乃通过一彈簧裝置来保持压力的恒定。电极軸的上部划有刻度，当电极头与皮肤接触时，由于压力的影响电极軸將向上移位，只要上升到同一刻度时就能保持每次测量时压力相等。压力的計算方法是将电极压在天平一盤上，使电极軸上移至某一刻度时，再在另一盤中加法碼，使天平恢复至原来的平衡状态，所以法碼的重量，即等于該电极接触面上所受到的压力，在实际工作中根据电极上移的刻度來选择所需要的压力。电极头系銀質或鍍銀，經处理后变成氯化銀，并将探测电极与电源的阴极相連，无关电极亦为銀質与电源的阳极相連，这样在实验时可避免电极的极化作用的发生。探测电极头的大小分兩种，大的直徑約1厘米，小的約2毫米，利用螺旋与电极軸相連，因此可以根据需要选用面积大小不同的电极。作腧穴通电量測量时，电极头部需包紗布数层并浸以生理鹽水或导电膏。

进行經穴与經絡探索实验时，是将电极的球形面在皮肤上迅速移动，作初步的探查，当发现某部位音响显著时再用电极軸的上端作細致的探索，以便找到一較局限的通电量較大的

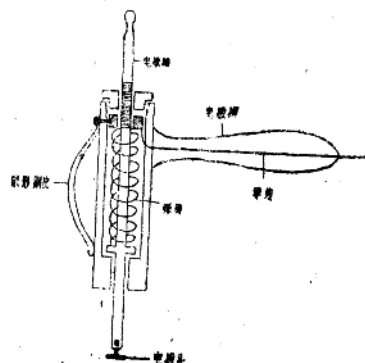


图 6 探测电极剖面图

区域。

## 結 論

目前一般所应用的經絡探测器实质上是测定人体的直流电阻，因此当用通电量微安来表示人体的电阻值时，电源电压必须恒定，否则微安值便失去了代表电阻的意义。本文介绍了我們所製制的三种不同类型的經絡探测器。第一种为簡單的經絡测定器，虽然不能調节电压，但有校验电压的裝置，可以指出电源电压降低时，以便調換电池。第二种为交直流經絡探测电針治疗器，第三种为袖珍型經絡探测器它們都具有調节电压裝置，能使电池电压在一定范围内变动时仍可保証工作电压維持在所需要的恒定值。本文所製制的探测电极，能在同一电极上完成通电量的测定和經穴探索实验的两种不同功用；同时还能保持与皮肤接触时压力的恒定和避免通电后电极极化作用的发生。

## 參 考 文 獻

1. Vigouroux, R.: 引自 Richter, C.P.: Physiological Factors Involved in the Electrical Resistance of the skin Am. J. Physiol., Vol. 88, P. 596, 1929.
2. Подшибякин, А.К.: Схемы Распресления Активных Точек Кожи. Вопросы Физиологии №. 4, 127, 1954,
3. 肖友山：从皮肤通电抵抗看到經絡的形态（介绍中谷博士的良导絡研究）。 中医雜誌，1958年2月，121頁。
4. 中谷又雄：皮肤通电抵抗之良导絡（二）（測定器部分）。 自律神經雜誌（日本）6卷，4期3頁昭和32年。
5. 曹俊青：實驗万用电表。 科學技术出版社，1957年45頁。
6. 曾兆麟、吳定宗、郁望璽：恆压电极与简单經絡測定仪的設計。 上海中醫藥雜誌，1959年3月，37頁。
7. 上海第一医学院附屬中山醫院：自制經絡診斷仪简介。 上医学报，第二期，84頁，1959年。
8. 曾兆麟、郁望璽、吳定宗、張令鍾：电极积面、电极与皮肤接触的压力以及接触时间长短对皮肤穴位導电量的研究。 上海中醫藥雜誌，1958年12月号，38頁。